

# Тепловые и квантовые флуктуации доменной границы в тонкой магнитной проволоке

© А.Ф. Попков

Государственный научно-исследовательский институт физических проблем им. Ф.В. Лукина, 103460 Москва, Россия

E-mail: popkov@nonlin.msk.ru

(Поступила в Редакцию 23 февраля 2001 г.  
В окончательной редакции 17 апреля 2001 г.)

Анализируется влияние тепловых флуктуаций на структуру доменной границы (ДГ) в тонкой магнитной проволоке. Показано, что ДГ в магнитной нанопроволоке спонтанно меняет поляризацию из-за тепловых и квантовых флуктуаций. Имеется критический поперечный размер проволоки, ниже которого возникает аналог суперпарамагнитного перехода для превращения ДГ Нееля в ДГ Гинзбурга–Булаевского.

Работа поддержана грантом Российского фонда фундаментальных исследований № 00-02-17240-а и грантом МНТЦ № 1522.

Доменная граница (ДГ) в тонкой магнитной проволоке является мезоскопическим объектом, изучение которого представляет интерес по следующим причинам. Во-первых, ДГ в наноконтакте и нанопроволоке оказывает существенное влияние на спин-транспортные свойства, которые сильно зависят от соотношения размеров ДГ и длины волны транспортируемых электронов [1–5]. Во-вторых, ДГ в нанопроволоке интересна для изучения явлений спонтанного перемагничивания из-за тепловых и квантовых флуктуаций. В связи с этим обращает на себя внимание работа [6], где была сделана попытка рассмотреть особенности микромагнитной структуры ДГ в малой магнитной перемычке между намагниченными берегами, которые обусловлены большой пространственной неоднородностью сечения перемычки. Влияние тепловых эффектов в этой работе не учитывалось. Однако при уменьшении размеров проволоки спиновые флуктуации будут приводить не только к размыванию ДГ, но и к искажению ее структуры. В первую очередь при этом будут проявляться флуктуации, связанные с коллективными возбуждениями, — макроскопические моды, обладающие наименьшей энергией возбуждения. Поэтому можно ожидать явления мезоскопической переполаризации ДГ под действием флуктуаций. Ранее в литературе рассматривались эффекты теплового сползания ДГ [7], квантового туннелирования через дефект и изгибные макроскопические флуктуации ДГ как протяженного объекта [8,9]. В настоящей работе исследуется явление мезоскопической переполаризации ДГ под действием тепловых флуктуаций и превращения поляризованной ДГ, характеризующейся наличием фиксированной плоскости разворота магнитных моментов в поперечном направлении, в неполяризованную ДГ типа Гинзбурга–Булаевского [10,11], в которой намагниченность меняется по величине, не отклоняясь в поперечном направлении и проходя через нуль между граничащими доменами.

## 1. Исходный гамильтониан и уравнения динамики

Рассмотрим магнитную проволоку, обладающую слабой магнитной анизотропией в поперечном направлении  $K_{\perp} \ll 2\pi M^2$ , диаметром менее обменной длины  $D \leq l_{\text{ex}} = \sqrt{A/\pi M^2}$ , где  $A$  — энергия неоднородного обмена,  $M$  — намагниченность. В такой тонкой проволоке спины в поперечном сечении коллинеарны. Гамильтониан рассматриваемой системы можно представить в виде

$$\hat{H} = A(d\mathbf{m}/dz)^2 - \pi M^2 m_z^2 - K_{\perp} m_x^2 - H_z(z) M m_z, \quad (1)$$

где  $\mathbf{m} = \mathbf{M}/M = (\sin \theta \cos \Phi, \sin \theta \sin \Phi, \cos \theta)$ ,  $H_z(z)$  — градиентное магнитное поле, стабилизирующее ДГ в точке  $z = 0$ .

В нулевом приближении по малому параметру  $K_{\perp}/\pi M^2 \ll 1$  для ДГ можно использовать автомодельное приближение, в котором структура границы описывается только конкуренцией обмена и энергии размагничивания,

$$\Phi = \text{const},$$

$$d\theta/dz = l_{\text{ex}}^{-1} \sin \theta \rightarrow \theta = 2 \arctg[\exp((z - \Delta)/l_{\text{ex}})]. \quad (2)$$

Тогда лагранжиан системы, проинтегрированный по объему проволоки сечением  $S_0$ , записывается в виде<sup>1</sup>

$$\hat{L} = v \left[ (2M/\gamma)(d\Phi/dt)(\Delta/l_{\text{ex}} - 1) - 2K_{\perp} \sin^2 \Phi - |H'_z| l_{\text{ex}} M (\Delta/l_{\text{ex}})^2 \right] + h_{\Delta}^{\text{fluc}} (\Delta/l_{\text{ex}}) + h_{\Phi}^{\text{fluc}} \Phi, \quad (3)$$

где  $v = S_0 l_{\text{ex}}$ , а также введены термофлуктуационные поля  $h_{\Phi}^{\text{fluc}}$  и  $h_{\Delta}^{\text{fluc}}$  для переменных  $\Phi$  и  $\Delta$ . Диссипативная

<sup>1</sup> Функция Лагранжа  $L$  и диссипативная функция  $R$  системы в угловых переменных могут быть представлены (см., например, [11]) в виде  $L = M/\gamma(1 - \cos \theta)\partial_t \Phi - W(\theta, \Phi)$ ;  $R = \alpha M/2\gamma((\partial_t \Phi)^2 \sin^2 \theta + (\partial_t \theta)^2)$ , где  $W(\theta, \Phi)$  — энергия системы, соответствующая ее гамильтониану. Для ДГ в автомодельном приближении лагранжиан и диссипативная функция находятся путем усреднения по пространственным переменным. Процедура усреднения уравнений динамики для автомодельного приближения, близкого к (2), излагается, например, в [12].

функция системы принимает вид

$$\hat{R} = (\alpha M/\gamma) l_{\text{ex}} S_0 [(d\Phi/dt)^2 + (d\Delta/dt)/l_{\text{ex}}^2]. \quad (4)$$

Из вариации лагранжиана и диссипативной функции находим уравнения динамики

$$\begin{cases} (d\Delta/dt)/l_{\text{ex}} + \alpha(d\Phi/dt) + (\gamma K_{\perp}/M) \sin 2\Phi \\ \quad \quad \quad = (\gamma/2Mv) h_{\Phi}^{\text{fluc}}, \\ -(d\Phi/dt) + \alpha(d\Delta/dt)/l_{\text{ex}} + \gamma |H'_z| \Delta \\ \quad \quad \quad = \gamma/2Mv h_{\Delta}^{\text{fluc}}. \end{cases} \quad (5)$$

Полученные уравнения имеют вид нелинейных уравнений Ланжевена со случайной правой частью.

## 2. Тепловое размытие и флуктуационная переполаризация ДГ

Найдем корреляционные характеристики флуктуаций угла отклонения и положения центра ДГ. Из решения линеаризованных уравнений (5) можно определить гармонические изменения угловой переменной и смещения центра ДГ  $\delta\Phi$ ,  $\Delta \sim \exp(-i\omega t)$  от равновесного положения  $\Phi = 0$ ,  $\Delta = 0$  согласно соотношениям

$$\begin{aligned} \delta\Phi &= \chi_{\Phi\Phi} h_{\Phi\omega}^{\text{fluc}} + \chi_{\Phi\Delta} h_{\Delta\omega}^{\text{fluc}}, \\ \Delta/l_{\text{ex}} &= \chi_{\Delta\Phi} h_{\Phi\omega}^{\text{fluc}} + \chi_{\Delta\Delta} h_{\Delta\omega}^{\text{fluc}}, \end{aligned} \quad (6)$$

где магнитные восприимчивости  $\chi_{i,j}$  даются формулами

$$\begin{aligned} \chi_{\Phi\Phi} &= \frac{\gamma}{2Mv} \frac{(\omega_D - i\omega\alpha)}{[\omega_{\rho}^2 - \omega^2(1 + \alpha^2) - i\alpha\omega(\omega_A + \omega_D)]}, \\ \chi_{\Delta\Delta} &= \frac{\gamma}{2Mv} \frac{(\omega_A - i\omega\alpha)}{[\omega_{\rho}^2 - \omega^2(1 + \alpha^2) - i\alpha\omega(\omega_A + \omega_D)]}, \\ \chi_{\Delta\Phi} &= -\chi_{\Phi\Delta} \\ &= \frac{\gamma}{2Mv} \frac{i\omega}{[\omega_{\rho}^2 - \omega^2(1 + \alpha^2) - i\alpha\omega(\omega_A + \omega_D)]}, \end{aligned} \quad (7)$$

где  $\omega_A = \gamma 2K_{\perp}/M$ ,  $\omega_{\rho} = \sqrt{\omega_D \omega_A}$ ,  $\omega_D = \gamma |H'_z| l_{\text{ex}}$ .

Согласно флуктуационно-диссипационной теореме (ФДТ) [13], имеем

$$\langle \delta x_i \delta x_j \rangle_{\omega} = (\hbar/2\pi) (\text{Im} \chi_{i,j}) \text{cth} (\hbar\omega/2k_B T), \quad (8)$$

где  $x_{i,j} = \Phi, \Delta$ . Отсюда следует, что для не слишком больших частот  $\hbar\omega \ll k_B T$  спектральная плотность флуктуационного углового отклонения плоскости поляризации ДГ дается выражением

$$\begin{aligned} \langle \delta\Phi^2 \rangle_{\omega} \\ = \frac{\alpha\gamma k_B T [\omega^2(1 + \alpha^2) + \omega_D^2]}{4\pi M l_{\text{ex}} S_0 [(\omega^2(1 + \alpha^2) - \omega_{\rho}^2)^2 + \omega^2 \alpha^2 (\omega_A + \omega_D)^2]}. \end{aligned} \quad (9)$$

Полная величина среднего отклонения угла  $\Phi$  равна

$$\langle \delta\Phi^2 \rangle = \int_{-\infty}^{\infty} \langle \delta\Phi^2 \rangle_{\omega} d\omega = \frac{k_B T}{4MS_0 l_{\text{ex}}} \frac{\gamma}{\omega_A}. \quad (10)$$

Аналогично можно получить формулу для средней величины теплового размытия толщины ДГ

$$\langle \Delta^2 \rangle / l_{\text{ex}}^2 = \frac{k_B T}{4MS_0 l_{\text{ex}} \omega_A} \frac{\gamma}{\omega_D}. \quad (11)$$

Из условия  $\langle \delta\Phi^2 \rangle \sim (\pi/2)^2$  следует, что критическая величина сечения, при которой анизотропный барьер локализации плоскости разворота ДГ преодолевается благодаря тепловым флуктуациям, дается формулой  $S_0^{\text{cr}} \sim k_B T / 2\pi^2 K_{\perp} l_{\text{ex}}$ . Отсюда находим критический радиус проволоки  $a_{\text{cr}} \sim (k_B T / 2\pi^2 K_{\perp} l_{\text{ex}})^{1/2}$ .

Проведем оценку для проволоки из NiFe. Возьмем  $T = 300$  К,  $K_{\perp} \sim 10^5$  эрг/см<sup>3</sup>,  $l_{\text{ex}} \sim 5$  нм, тогда получим  $a_{\text{cr}} \sim 1$  нм. Проведенные расчеты дают приблизительную оценку перехода поляризованной ДГ в неполяризованную заряженную ДГ типа Гинзбурга–Булаевского. Более детальное описание динамики перехода можно получить с помощью уравнения Фоккера–Планка для плотности вероятности состояния ДГ с заданной поляризацией и положением центра  $P(\Phi, \Delta)$ .

## 3. Уравнение Фоккера–Планка

Уравнение эволюции плотности вероятности состояний ДГ можно получить, используя подход, аналогичный подходу Брауна, развитому в работе [14] для описания явления термофлуктуационной переполаризации магнитной частицы. Спектральная плотность корреляционной функции для случайных полей находится, согласно ФДТ, по формуле

$$\langle h_i h_j \rangle_{\omega} = \frac{i\hbar}{4\pi} (\chi_{i,j}^{-1} - \chi_{j,i}^{-1*}) \text{cth} \frac{\hbar\omega}{2k_B T}, \quad (12)$$

где  $\chi_{i,j}^{-1}$  — обратные восприимчивости. Найдем спектральную плотность для случайных полей в точке  $\Phi, \Delta = 0$ . Из линеаризованной системы (5) получим

$$\begin{aligned} \chi_{\Phi\Phi}^{-1} &= \frac{2Mv}{\gamma} (\omega_A - i\omega\alpha), \quad \chi_{\Delta\Delta}^{-1} = \frac{2Mv}{\gamma} (\omega_D - i\omega\alpha), \\ \chi_{\Phi\Delta}^{-1} &= -\chi_{\Delta\Phi}^{-1} = \frac{2Mv}{\gamma} i\omega. \end{aligned} \quad (13)$$

Из (12) тогда следует

$$\langle h_{\Phi}^2 \rangle_{\omega} = \langle h_{\Delta}^2 \rangle_{\omega} = \frac{\alpha Mv}{\pi\gamma} \hbar\omega \text{cth} \frac{\hbar\omega}{2k_B T}, \quad \langle h_{\Phi} h_{\Delta} \rangle_{\omega} = 0. \quad (14)$$

В случае больших температур, когда можно пренебречь влиянием высоких частот и считать  $k_B T \gg \hbar\omega$ , спектральная плотность поля термофлуктуаций имеет вид "белого" шума, т.е.  $\langle h_{\Phi}^2 \rangle_{\omega} = \langle h_{\Delta}^2 \rangle_{\omega} = (\alpha Mv / \pi\gamma) 2k_B T$ .

В этом случае для описания эволюции плотности вероятности состояния  $P(\Phi, \Delta)$  можно применить хорошо известный подход для вывода уравнения Фоккера–Планка из нелинейных уравнений Ланжевена [12]. Стандартная процедура усреднения корреляционных моментов  $A_i = \lim_{dt \rightarrow 0} \langle dx_i \rangle / dt$ ,  $B_{ij} = \lim_{dt \rightarrow 0} \langle dx_i dx_j \rangle / dt$  дает уравнение Фоккера–Планка

$$\frac{\partial P(x_i, x_j)}{\partial t} = -\frac{\partial}{\partial x_i} A_i P(x_i, x_j) + \frac{1}{2} B_{ij} \frac{\partial^2 P(x_i, x_j)}{\partial x_i \partial x_j}. \quad (15)$$

В нашем случае оно имеет вид

$$\begin{aligned} \frac{\partial P}{\partial t} = & \frac{\alpha \gamma K_{\perp}}{(1 + \alpha^2)M} \frac{\partial P \sin 2\Phi}{\partial \Phi} + \frac{k_B T}{2K_{\perp} v} \frac{\partial^2 P}{\partial \Phi^2} \\ & + \frac{\gamma K_{\perp} l_{\text{ex}}}{(1 + \alpha^2)M} \frac{\partial P \sin 2\Phi}{\partial \Delta} + \frac{k_B T l_{\text{ex}}^2}{2K_{\perp} v} \frac{\partial^2 P}{\partial \Delta^2}. \end{aligned} \quad (16)$$

Для одномерного распределения  $P(\Phi) = \int_{-\infty}^{\infty} P(\Phi, \Delta) d\Delta$  уравнение упрощается

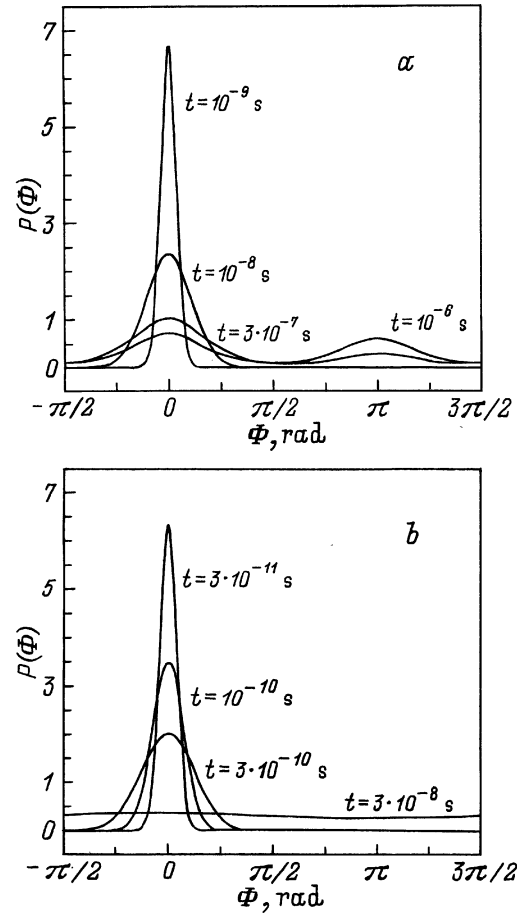
$$\frac{1 + \alpha^2}{\alpha \omega_A} \frac{\partial P}{\partial t} = \frac{\partial P \sin \Phi \cos \Phi}{\partial \Phi} + \frac{k_B T}{4K_{\perp} v} \frac{\partial^2 P}{\partial \Phi^2}. \quad (17)$$

Полученное уравнение имеет очевидное стационарное решение  $P(\Phi)|_{t \rightarrow +\infty} = A \exp(-2K_{\perp} \sin^2 \Phi / k_B T)$ , где, согласно условию нормировки,

$$\begin{aligned} A &= 1 / \int_0^{2\pi} \exp(-2K_{\perp} \sin^2 \Phi / k_B T) d\Phi \\ &= \exp(K_{\perp} / k_B T) / 4\pi I_0(K_{\perp} / k_B T), \end{aligned}$$

$I_0(x)$  — функция Бесселя от мнимого аргумента. Любое изначально локализованное состояние  $P(\Phi) = \delta(\Phi - \Phi_0)$  релаксирует к этому равновесному распределению. Время релаксации, связанное с диффузионным размытием начального распределения, существенно определяется фактором  $\nu = (k_B T) / (4K_{\perp} v)$ . Временной масштаб, просматривающийся в уравнении Фоккера–Планка (17), зависит от магнитных параметров и от ожидаемой величины углового размытия пакета  $\Delta\Phi$ :  $[t] \sim ((1 + \alpha^2) / \alpha \omega_A) (1 + k_B T / (4K_{\perp} v \Delta\Phi^2))$ . Видно, что диффузионное время расплывания при большой величине фактора  $\nu$  сокращается обратно пропорционально температуре:  $[t] \sim \nu M / \gamma k_B T$ . На рисунке приведены примеры эволюции изначально локализованного распределения для двух случаев:  $\nu \ll 1$  (a) и  $\nu \gg 1$  (b). При расчете были выбраны следующие параметры проволоки:  $M = 1500$  G,  $K_{\perp} = 10^4$  erg/cm<sup>3</sup>,  $\alpha = 0.1$ ,  $T = 300$  K, диаметр  $D = 60$  (a) и 10 nm (b).

При низких температурах  $k_B T \ll \hbar \omega_p$  происходит переход к квантовому флуктуационному пределу, когда термофлуктуационный шум нельзя считать "белым" и



Эволюция плотности вероятности состояния поляризации доменной границы в тонкой магнитной проволоке диаметром  $D = 60$  nm ( $\nu = 9.9$ ) (a) и  $D = 10$  nm ( $\nu = 0.275$ ) (b).

рассматриваемый подход непригоден. В пределе низких температур  $\nu \rightarrow 0$ , однако для определения эволюции начального состояния можно воспользоваться теорией макроскопического квантового туннелирования на основе интегралов по траекториям [15].

#### 4. Квантовая переполаризация ДГ при низких температурах

При  $T = 0$  ДГ будет поляризована в основном вблизи положений  $\Phi = 0$  и  $\pi$ . Рассмотрим для определенности ДГ с начальным состоянием  $\Omega(t = -\infty) = (\Phi = 0, \Delta = 0)$ . Амплитуда условной вероятности перехода в состояние  $\Omega(t = +\infty) = (\Phi = \pm\pi, \Delta = 0)$  определяется из интегрирования по инстантонным траекториям  $\Omega(\tau)$  во мнимом времени  $\tau = it$  согласно формуле  $K_{\Omega(-\infty) \rightarrow \Omega(+\infty)} = \int \exp[-S_E(\Omega(\tau)) / \hbar] d\Omega$ , где действие  $S_E$  определяется как интеграл по мнимому времени  $S_E = \int L d\tau$ . Опустив в лагранжиане системы (3) слагаемые, введенные для описания случайных термофлуктуационных полей, дополним его полевым слагаемым вида  $2M\hbar\Delta$ , ответственным за смещение положе-

ния ДГ, имея в виду рассмотреть также интерференционные квантовые эффекты, связанные с топологическими свойствами инстантонных траекторий. Теперь, если выделить в лагранжиане квадратичную форму по переменной  $\Delta$ , описывающей смещение ДГ, можно исключить ее, проведя гауссово интегрирование по этой переменной в амплитуде вероятности туннелирования. В результате получается эквивалентный лагранжиан системы, зависящий только от угловой переменной  $\Phi$ , следующего вида:

$$L(\tau) = 4vK_{\perp} \left( \frac{(\partial_{\tau}\Phi)^2}{2\omega_{\rho}^2} + i \frac{\partial_{\tau}\Phi}{\omega_A} \left( 1 + \frac{H}{H'l_{\text{ex}}} \right) + \frac{1}{2} \sin^2 \Phi \right). \quad (18)$$

Лагранжиан близкого вида часто встречается в теории магнитных инстантонов (см., например, [16,17]), поэтому последующие детальные выкладки можно опустить, ограничившись основными формулами для вероятности туннелирования. Частота туннелирования  $\Gamma$  определяется суммой амплитуд вероятности перехода из начального состояния  $\Phi = 0$  в конечное  $\Phi = \pm\pi$  по двум топологически различающимся инстантонным траекториям  $\Phi = \pm 2\text{arctg} \exp(\omega_{\rho}\tau)$ , соответствующим правому и левому вращению плоскости поляризации ДГ, т. е.

$$\begin{aligned} \frac{\Gamma}{2} &= K_{0,+ \pi} + K_{0,- \pi} \\ &= A_{0,+ \pi} \exp(-S_{0,+ \pi}) + A_{0,- \pi} \exp(-S_{0,- \pi}) = \\ &= 2\omega_{\rho} \sqrt{\frac{S_{\text{cl}}}{2\pi\hbar}} \exp\left(-\frac{S_{\text{cl}}}{\hbar}\right) \cos\left[\frac{2Mv}{\gamma} \left(1 + \frac{H}{H'l_{\text{ex}}}\right)\right], \quad (19) \end{aligned}$$

где  $A_{\Omega_{\pm}} = \int \exp(-\delta^2 S(\Omega)/\hbar) d(\Omega - \Omega_{\pm})$  — префактор соответствующей амплитуды вероятности,  $S_{\text{cl}} = 8vK_{\perp}/\omega_{\rho}$  — классическая часть действия на инстантонной траектории  $\Omega_{\pm}$ .

Из найденной формулы следует, что из-за макроскопической квантовой интерференции амплитуд туннелирования по двум топологически различающимся траекториям частота туннелирования может осциллировать в магнитном поле смещения ДГ. Этот эффект очень чувствителен к взаимодействию спинов с диссипативным окружением (фононами и спинами ядер [18,19]), которое вызывает фазовую декогерентность туннелирующих инстантонов и сглаживает полевые осцилляции.

Анализ полученной формулы показывает, что для наблюдения квантовой переполаризации ДГ требуются достаточно жесткие экспериментальные условия, что связано с необходимостью создания очень большого удерживающего градиента магнитного поля. Действительно, возьмем  $M = 1500 \text{ G}$ ,  $K_{\perp} = 10^3 \text{ erg/cm}^3$ ,  $\gamma = 2 \cdot 10^7 \text{ Oe}^{-1} \cdot \text{s}^{-1}$ ,  $A = 10^{-6} \text{ erg/cm}$ , тогда найдем, что в проволоке нанометрового сечения частота перехода имеет наблюдаемую величину  $\Gamma \sim 1 \text{ s}^{-1}$  при собственной частоте колебаний ДГ  $\omega_{\rho} = 10^9 \text{ s}^{-1}$ . Для создания такой высокой частоты собственных колебаний можно использовать искусственный пиннинг ДГ на обменном дефекте внутри канала.

Проведенный анализ показывает, что ДГ в магнитной нанопроволоке испытывает сильное тепловое искажение структуры при комнатной температуре из-за флуктуаций направления плоскости разворота и тепловых колебаний ее центра. Имеется критическая величина температуры, связанная с величиной энергетического барьера переполаризации ДГ, выше которой ДГ становится неполяризованной. Переход поляризованной ДГ в неполяризованную при уменьшении поперечного сечения магнитной проволоки аналогичен эффекту тепловой деблокировки магнитных наночастиц по достижении порога суперпарамагнетизма Нееля–Брауна.

ДГ в магнитной нанопроволоке по существу представляет собой магнитный вихрь. Ранее в [20] рассматривалась возможность квантовой переполаризации блоховской линии в тонкой пленке — ситуация, достаточно похожая на ДГ в нанопроволоке. Однако в нашем случае мезоскопический объем, участвующий в туннелировании, уменьшается за счет малости диаметра проволоки и вероятность наблюдения квантовой переполаризации вихря возрастает. Анализ макроскопического туннелирования плоскости поляризации ДГ показывает, что при нулевой температуре поляризация ДГ может сохраняться довольно долго и для наблюдения квантовой переполаризации требуется достаточно сильное закрепление ДГ в магнитном канале.

Наличие сильной пространственной неоднородности сечения магнитной перемычки, а также обменного дефекта — области с пониженной энергией обмена внутри ДГ — должно способствовать росту частоты ее квантовой переполаризации, так как оно будет приводить к уменьшению ширины ДГ (см. [6]) и возрастанию удерживающего градиента.

Отмеченные особенности, в частности связанные с флуктуационным переходом ДГ в деполяризованное состояние, необходимо учитывать при анализе спин-транспортных свойств магнитных наноконтактов и нанопроволок, управляемых внешним магнитным полем.

Автор выражает признательность А.К. Звездину за стимулирующие дискуссии.

## Список литературы

- [1] N. Garcia, M. Munoz, Y.-W. Zhao. Phys. Rev. Lett. **82**, 2923 (1999).
- [2] G. Tatara, Y.-W. Zhao, M. Munoz, N. Garcia. Phys. Rev. Lett. **83**, 10, 2030 (1999).
- [3] H. Imamura, N. Kobayashi, S. Takahashi, S. Maekawa. Phys. Rev. Lett. **84**, 5, 1003 (2000).
- [4] А.К. Звездин, А.Ф. Попков. Письма в ЖЭТФ **71**, 5, 304 (2000).
- [5] P.M. Levy, Sh. Zhang. Phys. Rev. Lett. **79**, 25, 5110 (1997).
- [6] P. Bruno. Phys. Rev. Lett. **83**, 12, 2425 (1999).
- [7] L. Neel. Ann. Univ. Grenoble **22**, 299 (1946).
- [8] T. Egami. Phys. Stat. Sol. (b) **57**, 211 (1973).

- [9] P.C.E. Stamp. Phys. Rev. Lett. **66**, 21, 2802 (1991); E.M. Chudnovsky, O. Iglesias, P.C.E. Stamp. Phys. Rev. **B46**, 9, 5392 (1992); В.В. Добровитский, А.К. Звездин. ЖЭТФ **109**, 4, 1420 (1996).
- [10] А. Хуберт. Теория доменных стенок в упорядоченных средах. Мир, М. (1977). С. 92.
- [11] А.М. Косевич, Б.А. Иванов, А.С. Ковалев. Нелинейные волны намагниченности. Динамические и топологические солитоны. Наук. думка, Киев (1988). С. 19; А. Хуберт. Теория доменных стенок в упорядоченных средах. Мир, М. (1977). С. 98, 110.
- [12] А. Малоземов, Дж. Слонзуски. Доменные стенки в материалах с цилиндрическими доменами. Мир, М. (1982). С. 102, 180.
- [13] Л.Д. Ландау, Е.М. Лифшиц. Статистическая физика. Наука, М. (1964). С. 465.
- [14] W.F. Brown, Jr. Phys. Rev. **130**, 5, 1677 (1963).
- [15] E.M. Chudnovsky. J. Appl. Phys. **73**, 10, 6697 (1993).
- [16] A. Garg, G.-H. Kim. Phys. Rev. **B45**, 22, 12 921 (1992).
- [17] В.Ю. Голышев, А.Ф. Попков. ЖЭТФ **108**, 5(11), 1755 (1995).
- [18] A. Garg. Phys. Rev. **B51**, 21, 15 161 (1995).
- [19] V.Yu. Golyshev, A.F. Popkov. Phys. Rev. **B56**, 5, 2712 (1997).
- [20] V.V. Dobrovitskii, A.K. Zvezdin. J. Magn. Magn. Mater. **156**, 205 (1996).